

복합체 응력해석의 광탄성 실험법

황 재 석
영남대학교 기계공학과 교수



● 1950년생
● 응력해석 및 복합체역학을 전공하였으며, 광학을 이용한 광탄성실험법에 의한 응력해석 및 복합체역학에 관심이 있다.

1. 머리말

서로 다른 형상과 성질을 가진 재료를 조합하고 합성하므로 單體로서 가지지 않는 특성을 나타내고, 또 요구에 적합하고 뛰어난 성질을 가지는 재료를 창조하는 방법을 재료의 복합법이라 하고 이렇게 만들어진 재료를 복합재료(C.M : composite materials, composites)라 정의 한다. 이러한 방법으로서 좋은 성질을 가지는 재료를 만들수 있다는 사실은 옛날부터 알려져 왔다. 이러한 복합재료는 자연계에서 木材, 竹, 생체재료등에서 볼 수 있고 또 고대로부터 인류가 제작하여 사용하여 왔던 흙벽돌(절단한 짚을 섞어서 만든 것) 그리고 연금술에 의한 합금등에서 이러한 복합재료의 구성을 볼 수 있다. 그리고 근대 기술에 의한 복합재료는 tire, bimaterials, 합편, 소결합금, 콘크리트재, 아스팔트(asphalt)材, 회반죽, 강화플라스틱(plastic) 제품등이 있다.

이와 같이 복합재료는 오랜역사를 갖고 있지만 현재 중용시 되는 것은 현대의 발전한 기술과 기술의 응용에 의해서 종래의 방법에 의한 특성향상의 한계를 극복하고 보다 새롭고 뛰어난 성질을 가진 재료를 창조할 수 있다는 것이 재인식되었으므로 지금은 신소재와 복합재료 개발이 한창 진행중이다.

지금까지 만들어진 복합재료의 구성형태를

보면 어떤재료를 특수한 미소형으로 하여 다른 재료의 내부에 분산하는 것으로 연구 개발되어 왔다. 이때 전자를 분산상(dispersed phase) 또는 분산재, 후자를 메트릭스상(matrix phase) 또는 母材(Matrix)라 한다. 이러한 분산재나 母材는 금속, 유기체 혹은 비유기체로 구성되어 있고 주로 복합체에 사용된 주요 구성물은 그림 1과 같은 파이버(fiber), 粒子(particle), 版片狀(flake), 라미나(lamina)와 충진재등이 있다.⁽¹⁾

그리고 복합체를 구분하는 방법은 여러가지 있지만 복합체의 구성물의 형태를 근거로하여 구분하면 그림 2와 같이 분류된다.⁽¹⁾

(1) 모재와 파이버 혹은 파이버로만 구성된

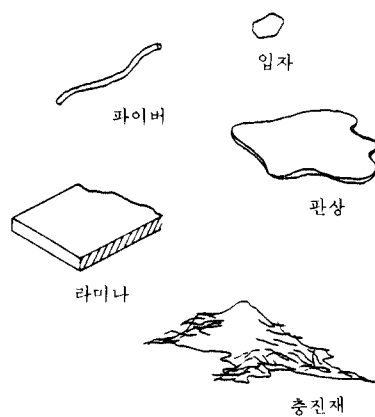


그림 1 복합체의 구성물 형태

파이버 복합체 입자복합체 라미나 복합체

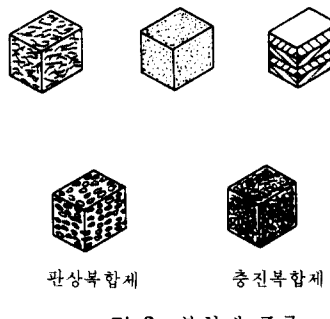


그림 2 복합체 종류

파이버 복합체 (fiber composite)

(2) 모재와 板狀片 혹은 板狀片으로만 구성된 板狀片 복합체 (flake composites)

(3) 모재와 입자 혹은 입자만으로 구성된 입자 복합체 (particulate composites)

(4) 제2의 재료로 충만된 骨格材로 구성된 충진 복합체 (filled or skeleton composites)

(5) 라미나 (laminar) 혹은 레이어 (layer)로 구성된 라미나 복합체 (laminar composites)

구조용 복합재료에는 섬유강화계가 일반적으로 역학적 특성이 우수하므로 특히 많이 개발되어 왔다. 이러한 섬유강화 복합재료(FRCM : fiber reinforced composite materials)의 종류는 섬유강화 고무(FRR : fiber reinforced rubber), 섬유강화 플라스틱(FRP : fiber reinforced plastic), 섬유강화 메탈(IRM : fiber reinforced metal), 섬유강화 세라믹(FRC : fiber reinforced ceramics)등이 있고, 또한 FRP의 모재에 열가소성 플라스틱(FRTP : fiber reinforced thermo-plastic)이 있고 또 FRP의 섬유(fiber)가 유리섬유인 유리섬유강화 플라스틱(GFR : glass fiber reinforced plastic), 파이버가 카본인 카본섬유강화 플라스틱(CFRP : carbon fiber reinforced plastic), 입자강화금속(PRM : particle reinforced metal or PSM : particle strengthened metal) 등이 있다.

근년에는 이러한 복합재료의 사용조건이 다양화되어 항공기, 로켓트, 자동차, 선박 그리고 일반 구조물등에 널리 사용되어 왔다. 따라서 복합재료의 개발및 사용과 더불어 이러한 복합체로 구성된 구조물에 대한 응력해석과 파괴역학적 연구가 아래와 같이 광범위하게 진행되어 왔다.

1900년도에 Michell,⁽³⁾ Taylor⁽⁴⁾ 및 Green⁽⁵⁾ 등이 균일한 이방성체판의 응력분포및 응력집중^(6,7)에 대하여 연구한 이래 여러 학자들에 의하여 라미네 복합체(Laminated Composite)의 내부 라미나의 전단응력, 내부 라미라의 응력과 강도^(8~11), 복합체 접착부분의 전단응력과 응력 특이성^(12~13), 복합체의 잔류응력과 잔류강도^(14~15), 파이버와 파이버의 상호작용⁽¹⁶⁾, 내부 라미나의 파괴거동 delamination과 모재의 균열 발생현상^(17~24), 복합체 체결부의 응력 파괴 인장강도및 굽힘강도^(25~29), Bimaterial의 경계균열문제^(30~34), 異材 境界上의 파로균열전파와 접착력과의 관계⁽³⁵⁾, 異材균열상의 파로균열 분지현상⁽³⁶⁾, 복합체의 파괴 인성치 측정법과 파괴인성치에 미치는 인자, 저온상태의 파괴인성치, Crack전파에 미치는 이방성영향^(37~41), 세라믹의 동적파괴 발생의 측정방법^(42~44), 복합체 정적 파괴문제에 J적분의 응용과 크랙첨단거동에 J적분 응용등이 연구되어 왔다⁽⁴⁵⁾. 특히 종래의 직교이방성의 평면 문제에서 크랙주위에 발생하는 응력분포와 변위성분들의 이론적 연구는 표 1과 같다.

그리고 위와 같은 이론적인 연구과 더불어 표 2과 같은 실험적 연구도 진행되어 왔다.

그리고 복합체 구조물을 실험적으로 응력 해석하는데는 표 2와 같은 실험 방법 이외에도 등방성체의 모델실험에 주로 사용되어 온 광탄성실험법이 있고, 이 실험법에는 정적인 광탄성 실험법과 동적인 광탄성 실험법이 있다. 정적인 광탄성 실험법은 다시 투과형 광탄성 실험법과 반사형 광탄성 실험법(birefringent coating method)으로 분류되며, 투과형 광탄성 실험법에는 일반적인 투과형 광탄성 실험

표 1 직교 이방성 평면문제의 이론적 해석

研究者(著者)	解説 特式과 理論적 構造, 實驗結果과 解析方法	研究內容 및 結果
G.C. Sih, P.C. Paris and G.R. Irwin (1965) ⁽⁴⁷⁾	• 이방성내에 존재하는 Crack 점과 주위에 발생하는 응력분포. • Complex Variable Approach	• 동방성체의 파괴역학의 수학 적 고찰이 Crack을 기준으로 이방성체의 파괴역학에도 그대로 확대 적용 가능.
O.L. Bowie and E.E. Freese (1972) ⁽⁴⁸⁾	• 풍차사상과 경계선정법 (Modified Mapping-collocation Technique) • 중앙 Crack을 가진 장방형한 계에 미치는 영향. • 계열과 주축과 Crack의 기준 이 일치하는 경우	• 이방성의 크기와 장방형한의 특성에 따른 Crack의 응력확대 계에 미치는 영향. • 계열과 주축과 Crack의 기준 이 일치하는 경우
D.M. Barnett and R.J. Asaro (1972) ⁽⁴⁹⁾	• 원위 연속 분포방법(the method of continuously distributed dislocation) • 부인 이방성체한 • 단순인장 하중	• 이방성체의 Crack문제 해석
K.R. Gandhi (1972) ⁽⁵⁰⁾	• 풍차사상과 경계선정법 (modified mapping-collocation technique) • 내부Crack을 가진 장방형한 계 • 단순인장	• 직교 이방성체의 주변변화가 응력확대 계수에 미치는 영향 • 주변변화가 응력확대 계수에 상당히 영향을 준다.
Steen Krenk (1975) ⁽⁵¹⁾	• Co-linear crack을 가진 이방성 체의 평면 문제 • Riesen-Hilber	• 응력확대계수 산정
M.D. Snyder and T.A. Cruse (1975) ⁽⁵²⁾	• 경계선정방법(boundary integral method) • 내부 Crack 및 전축 Crack을 가진 장방형한 • 단순인장	• 응력확대계수의 산정
Mohan Lal Soni and Morris Stern (1976) ⁽⁵³⁾	• 경계선정방법(contour integral method) • 내부 Crack 및 전축 Crack을 가진 장방형한 • 단순인장 • 전축 Crack을 가진 회로보간 (전단체)	• 이방성의 크기가 응력확대 계의 크기에 미치는 영향
中野守, 中村守, 森崎繁樹, 池木直 (1981) ⁽⁵⁴⁾	• 내부Crack(중앙 편심 및 경사 구조) 및 Edge-crack(전축 및 양측 구조)을 가진異性長方 形板 • 단순인장 • 산정방법에 의한 최소자승법, Riesen-Hilber 문제 의 해.	• 이방성체의 응력확대 계수는 형상과 계료정수에 의존한다.
K. Fujino, H. Sakine and H. Abe(1984) ⁽⁵⁵⁾	• 전축 Crack을 가진 단 부하한 • 단순인장 • 연속 분포 원위 방법 (the method of continuously distributed dislocation)	• 모재와 Fiber사이인 Interface 에 발생하는 응력과 Fiber에 발생하는 응력.
Steven C. Pack and James A. Mendell(1984) ⁽⁵⁶⁾	• 다중행방법(multiplane method)	• Fiber복합재를 마이크로 역학 적으로 연구하는데 단행방면 방법이 유용하다.
K.S. Chan and T.A. Cruse (1986) ⁽⁵⁷⁾	• C.T.O.T. (compact tension specimen) • B.E.M.	• 응력확대계수 산정
Said A. Khalil C.T. Sun and W.C. Hwang (1986) ⁽⁵⁸⁾	• Hybrid 유한요소법	• Unidirectional composite의 응력 확대계수를 구하는 데 Hybrid 유한요소법의 유효성 확인
石川 明雄, 黒 貴夫 (1987) ⁽⁵⁹⁾	• B.E.M. • 수치해석	• S.F.R.C.(short fiber rein- forced composite)의 Fiber 갈무리와의 접착이
E.G. Lekopoulos (1987) ⁽⁶⁰⁾	• 일회의 평면Crack을 가진 이방 체계의 2차원 문제	• Crack주위에 발생하는 응력 분포
Deakin An(1987) T.L. Sheu and Y. Zhou(1989) ⁽⁶¹⁾	• Weight function	• Weight function 이론을 쳐고 이방성체에 학제 적용하여 이방성체 파괴역학 해석
Nave Sela, Leslie Banks- Sills and Ori Ishai(1989) ⁽⁶²⁾	• 원위 회설법 • Griffith's Energy method을 이용한 유한요소법	• 응력 확대계수 산정 • Griffith의 평면Crack의 (interlayer) 응력확대계수를 간접적으
C. Vipulananda and Bharat Bhushan (1990) ⁽⁶³⁾		• 단성 C.T.O.D.(crack mouth opening displacement method) 로 부터 C.T.O.D.(crack tip opening displacement)를 측정 할수 있는 단순 Model의 개발. • Epoxy와 Polyester의 고온화 복합재(polymer composite: P.C.)의 열응력 확대계수 (Kien-Ting 및 C.T.O.C.(crack tip opening displacement) 등 에 대한 연구).
Zhiqiang Suo (1990) ⁽⁶⁴⁾	• Infaex의 특이성과 Interface crack의 특이성	• Infaex 특이성과 Interface crack의 특이성에 대한 문제의 해를 제시함. • Crack점에서 전동이 발생하지 않는 재료의 경계영역은 통상 성체의 Crack와 같다. • 비 전동영역에서 Interface crack의 응력 확대계수는 Mode II의 응력 확대계수와 같다.

표 2 직교 이방성 평면문제의 실험적 해석

實驗 方法	研究者(著者)	材料, 裝置과 解析의 構件, 實驗結果과 解析方法	研究內容 및 結果
1. Moire	I-I. I.M. Daniel and R.E. Rowland (1971) ⁽⁶⁵⁾	• Glass-epoxy composite • 친구공을 구현한 (poly + 26in × 10in × 0.067in) • 단순인장	• Laminate 복합체의 Interlayer shear edge effect • 친구공이 용융과 변형을 관계 수주 및 수직방향의 변형률분포 • 파단영역 및 수직방향의 용역 분포
1-2. R.E. Rowland, I.M. Daniel and R. Prabhakaran (1974) ⁽⁶⁶⁾		• Unidirectional-glass reinforced polyester • 시편 0.3m(25.0cm×2.6cm) 구형 • 응력화증(기록 장치)	• 올로드 고장력방식 개발 • 친구공 투사 기록(충격파수) • 복합재 구조는 용역 해석 • 복합재 응력파를 기록할수있는 Ultrahigh-speed photographic technique 개발 • Ultrahigh-speed photographic technique로 투명재나 비투 명재 모아리부드 활용 가능
1-3. I.M. Daniel (1978) ⁽⁶⁷⁾		• Graphite/Epoxy plates (4-ply(±45/90)) laminates(27×560×0.127in) • Mode I(수평 crack)	• C.O.D. 측정 • Crack 주위의 변형을 측정 • Crack길이에 대한 일계용역 해석 계측 • 파단 형태
1-4. Shinichi Kashida (1986) ⁽⁶⁸⁾		• Graphite/Epoxy Double-lap joint with single pin load(universal testing machine)	• 스트레인 케이지화 Moire등의 복합재를 사용하여 복합체의 Pin-on-glass분의 변형을 분포 측정 • 복합재 분포는 Fiber방향의 경향과 일치 밝음 • 파단에 Fiber방향에만 외준 되는것이 아님
1-5. I.G. Zarei, I.M. Daniel and J.T. Gorro (1987) ⁽⁶⁹⁾		• 109 woven E-glass Fabric/FR-4 epoxy • Laminates:305mm 305mm × 25.4mm(wide)×229mm (long) • 단순 인장	• 복합재 용역과 밀접 연관성을 • 일 변형을 • Shadow moiré pattern으로 전류응력의 터틀링 현상 측정 • 단순 인장
1-6. D. Post, R. Carmen and D. Joh (1987) ⁽⁷⁰⁾		• Graphite/Epoxy Beam Graphite/Pink Bean 보조: 높이 4cm • 3점 굽힘 모멘트 5점 굽힘 모멘트	• 보조 높이에 대한 수평 및 수직 방향의 변화 • 보조 높이에 대한 전단 변형을 • PIxie화의 Interlayer의 응력에 발생하는 전단응력상태의 측정 • 새로운 Data 처리법의 개발
2. Holography	2-1. R.E. Rowlands and I.M. Daniel (1972) ⁽⁷¹⁾	• Glass-epoxy Plate, Boron Composite Plate, Boron Epoxy Plate, Carbon Composite Plate • 경계화증 및 응력화증, 진동	• 경계화증에 대한 하중이 적용 하는 비투가장 복합체의 응력 해석 • 전단 변형 측정 • 경상성체의 풀성치, 응력과 변형량의 관계 • 복합재 구조의 일계 Buckling 하중과 파괴의 측정
2-2. R.E. Rowlands, T.D. Dudderidge, R. Prabhakaran and I.M. Daniel (1980) ⁽⁷²⁾		• Glass-polyester Composite • 시편 100mm(wide)×224mm (length)×4.4mm(thick) • 굽임한 하중	• Crack 주위의 등장선부리화 Imaging fringes • 시편 100mm(wide)×224mm (length)×4.4mm(thick) • Imaging fringes는 등방성체 나 이방성체의 응력확대계수를 얻는데 유용하게 사용됨 • Imaging fringes의 모양은 동방성체와 이방성체가 같다.
2-3. K.A. Jacob, V. Devadoss and B. Rangarayana- kumar(1983) ⁽⁷³⁾		• 시편:Glass-epoxy composite disc, 회경 60mm, 너비 10mm, 두께 4.4mm • 압축하중(종심방향)	• 부각화 이방성체의 Imaging fringes pattern과 그 이방성 체의 등장선부리 투사를 사용하여 응력을 분석할수있는 응력분석 법의 개발 • 수평 직경선상의 σx와 σy 분포
3. Strain gauge	3-1. Kenneth T. Kavvadas (1972) ⁽⁷⁴⁾	• 연장면 0.25in-thick(4cm) × 1in-thick(1cm)의 기관 점화재(Epoxy, 하중: 6000- 8000lb) • 일주하는 마그네슘의 금속인 친수: 하중-내부압력(250psi) Carbon-Carbon의 복합재하중 하중-내부압력(20,40,60psi)	• 어려개의 스트레인케이지화 증명한 페인팅과 증명한 페인팅을 유인스케일 을 이용하여 그시편의 풀성치와 복합재의 거동을 알아보는 실 험 방법(Finite element based experimental technique)개인
3-2. I.M. Daniel (1978) ⁽⁷⁵⁾		• Graphite/Epoxy plates (4-ply(±45/90)) laminates(27×560×0.127in) • Mode I(수평 crack)	• C.O.D. 측정 • Crack 주위의 변형을 측정 • Crack길이에 대한 일계용역 해석 계측 • 파단 형태
3-3. Shinichi Kashida (1986) ⁽⁷⁶⁾		• Graphite/Epoxy Double-lap joint with single pin load(universal testing machine)	• 스트레인 케이지화 Moire등의 복합재를 사용하여 복합체의 Pin-on-glass분의 변형을 • Fiber 방향의 풀성치 • Fiber 방향에만 외준 되는것이 아님
3-4. A. Shukla, B.D. Agarwal and Bharat Bhushan (1989) ⁽⁷⁷⁾		• Glass-fiber reinforced epoxy • 50mmwide(5cmlength) 2.5mmthick(1in) SD-시편 Crack 길이: 20.1 mm • 굽임한 인장이중	• Strain gauge를 사용하여 응력 확대계수를 결정할수있는 단순한 실험 방법 개발 • 응력 확대계수의 산정
4. 전기 상사법	4-1. G.V. Srinivasan and Anil V. Virkar(1989) ⁽⁷⁸⁾	• Bimaterial(stainless+Cu), Fiber reinforced composite (fiber-Ni, matrix-stainless) • 15.2mm(wide)×21.5mm	• Bimaterial이나 Fiber복합체의 응력확대 계수를 결정할수있는 전기 상사법 개발 • 응력 확대계수의 산정

		(length)	영향:
			* 응력학적 거리에 따른 드러누기 (defend distance) 영향 * 응력학적 거리에 Crack길이 영향
5. Caustics 법	5-1. P.S. Theocaris (1978) ⁽⁷⁷⁾	* Poly-carbonate of bisphenol-A (상수성: Lexan) * Cracklength을 가진 구형단 (diameter: 30.6x1 mm ²) * 단면시험(intron universal test)	* Caustics법에 의한 이방성계의 응력 및 금속재료의 응력에 대한 연구
6. AE 법	6-1. 鄭父江, 小河 哲紀, 鹿久(1987) ⁽⁷⁸⁾	* 보통 설유강화 알루미늄 * 유기재료(설유재료: 140mm, 유기재료 펀치: 100mm, Alumina 펀치: 40mm) * 노치를 가진 단면 단장시험 * 단면 단장 허용	* 수지기 복합재료 및 금속재료 * 펀치(4mm)를 부판에서 파단 * AE기록(설유, 유기재료, 알루미늄 * 진폭 분석, 카우포트)과 특성에 대한 연구

법, 사입사법(oblique incidence method), 산란광법 그리고 응력 동결법 등이 있다. 복합체를 광탄성 실험법으로 해석하고자 할 때는 반드시 그 복합체의 응력프린지치(stress fringe value)와 변형률 프린지치(strain fringe value)를 알아야 한다. 종래에 연구된 응력프린지치와 변형률 프린지치는 표 3에 제시된 것과 같다.

표 3 응력 프린지치와 변형률 프린지치에 관한 연구

研究者(国別)	研究 内容 및 結果
H. Pih and C.E. Knight (1969) ⁽⁷⁹⁾	* 플라스틱재의 Stress-Optic Law의 * 광선선각도는 유기재에 대한 Fiber방향과 주입재의 크기비의 관계 * Fiber 방향에 대한 광탄성의 응력프린지치를 구하는 식을 제시
R.C. Sampson (1970) ⁽⁸⁰⁾	* Stress-Optic Law의 계산 * 플라스틱 재의 원단면변형 광탄성의 일간적 방법 개발 * 복합재 2개 분리과 2개 주입재 프린지치 정의
J.W. Dally and R. Prabhakaran (1971) ⁽⁸¹⁾	* 응력은 이방성계 구성재에 길이와 깊이에 따른다는 조건과 푸리아수와 Fiber에 발생하는 푸리아수의 합으로 된다는 등식 조건을 사용하여 광탄성 광학방법 기본정리를 구할수있는 공식을 제시함 * Sampson의 Stress-Optic Law가 유효하다는 것을 실험적으로 확인함.
R. Prabhakaran and J.W. Dally (1972) ⁽⁸²⁾	* 모델재료의 Fibrous Debonding과 Fiber의 분포가 동세선 푸리아 분리에 미치는 영향에 대한 연구
R.B. Pipes and J.L. Rose (1974) ⁽⁸³⁾	* 3개의 Stress fringe value, 4개의 기본 Strain-optic Coefficients를 사용하여 Stress-Optic Law 개발 * 광弹성률을 조사하여 주변형률 방향과 광학 통증선 각도가 일치한다는 것을 확인
Jan Cernock (1975) ⁽⁸⁴⁾	* 이방성이 고려된 경우에는 Sampson의 현상학적 이론과 Daily등의 후증선각도를 사용하여 주변형률을 계산하는 방법 * 주증선각도에 대한 후증선각도 푸리아법과 푸리아 프린지치와 광학 통증선이 정확하게 모사될 수 있는 방법이 개발됨.
R. Prabhakaran (1975) ⁽⁸⁵⁾	* Sampson의 일간적 방향과 단면화 * 주입재 프린지치가 계류(Flow 방향), fiber방향과 수직, fiber의 방향과 45°를 만드는 원인 중심의 변형률과 푸리아로 특정 가능하다는 것을 제시
R. Prabhakaran (1975) ⁽⁸⁶⁾	* Stress-optic Law의 개발과 이 방식의 유효성을 실험적으로 확인 * 2개의 통증선을 사용하여 이방성 광학방법의 변형률을 측정함 * 단면화는 20mm(20mm) * Stress-optic Law의 평균 Fringe values를 사용하여 직교 이방성 광학방법 단면화 모델과 동일성에 대한 연구를 하였지만 광학 이방성 광탄성모델의 변형률을 근사적으로 해석 할수있다.
R. Prabhakaran (1976) ⁽⁸⁷⁾	* 광학 광학이방성계의 통증선에 대한 연구 * 광학방법은 특별히 주입재 방향과 주변형률을 방향과도 충돌하는 것을 실험적으로 확인함.
R. Prabhakaran (1980) ⁽⁸⁸⁾	* 광탄성 광학이방성계의 기본응력 프린지치와 기본 광학정의 관계식 유도.
Aseem, B.D. and Chaurandhi (1982) ⁽⁸⁹⁾	* 동세선구의 푸리아와 통증선각도를 측정함으로 광학이방성계의 주변형률을 방향과 주변형률을 사용하여 계산하게 측정할수있는 Stress-optic Law를 유도하고 실험적으로 확인함.
R. Prabhakaran and R.G. Chera-shini (1984) ⁽⁹⁰⁾	* 광학 광학이방성계의 기본응력 프린지치와 광학정의 계산 * 이 방식을 사용하여 이방성계의 광탄성계수와 광학적 프린지치의 관계를 측정 가능.

표 4 복합체 응력 해석용 광탄성 실험법

研究者(国別)	研究 内容 및 結果
一 般 概要 方法 実験結果	<p>林 勝 (1982)⁽⁹¹⁾</p> <ul style="list-style-type: none"> * 광학방법에 활용되는 FRP(fiber reinforced plastic, fiber-fiber-glass, carbon-fiber-polymer等) * 펀치를 프린지하는 광고이방성 광학재에서 펀치의 전형적인 형상에 일정하고 전형률은 방향에 관계없다는 조건을 사용하여 광고이방성 광탄성재로의 광탄성 실험법 개발
Thomas F. MacLughlin (1986) ⁽⁹²⁾	<ul style="list-style-type: none"> * Fiber의 기하학적 형상과 Fiber와 위치가 Fiber복합재의 Fiber구조와 Fiber사이에 일정하는 응력에 미치는 영향에 대한 연구. * Fiber재의 Fiber의 불연속에 대한 응력분포를 광탄성실험으로 해석방법
T.E. Blasius, W.D. Laufer and T.R. Tauchert (1989) ⁽⁹³⁾	* 탐류체(inclusion)와 현공 푸리아에 발생하는 응력에 관한 연구
E.E. Gokon and G. Parakkalath (1982) ⁽⁹⁴⁾	* Bimaterial의 경계(interface)에 Crack을 가진 Bimaterial(양면)이 푸리아를 발생하는 Crack주위에 발생하는 응력학적 계수를 광탄성 실험으로 구함.
H. Pih, Q. Bi, Y.Y. Chen and P.Y. Yu (1985) ⁽⁹⁵⁾	* 광학 광탄성 실험법을 사용하여 풀연집합이 응력파에 미치는 영향을 FiberGlass과 기하학적 형상에 대하여 연구함.
M. Matalab and L.W. Zachary (1987) ⁽⁹⁶⁾	<ul style="list-style-type: none"> * 광고이방성 광탄성 실험과 광고이방성의 응력학적 계수 K1을 결정할수있는 광탄성 실험법 제시. * 이 방법을 Mode I와 II를 민화고는 복합재(fiber-glass composite)에 적용하여 구현 응력학적 계수와 유도요소법으로 구한 응력학적 계수를 비교하여 그 실현방법의 유효성을 확인함.
J.L. Sullivan, E. Mais and H.Van Dorn (1987) ⁽⁹⁷⁾	<ul style="list-style-type: none"> * 2개 균일 모델재를 갖는 광고이방성 분석 이론적 모세선과 광선선을 실제로 구한 광선선의 푸리아를 비교. * 2개 균일 모델재를 갖는 보다 미흡한 광弹性학의 영향 * Stress-optic law로 전류 복합재를 설명함.
石川 雅典, 佐藤 大輔 (1988) ⁽⁹⁸⁾	<ul style="list-style-type: none"> * Short-fiber composite의 설유단면 풍부 푸리아에 대한 연구 * Short-fiber 대신에 Steel rod을 Epoxy로 묶어 하모니 모델하여 모델 실험법 제시. * Fiber의 푸리아 모서리 부분, Fiber 푸리아 Crack(欠陥), Fiber 푸리아 모서리 Interface(界面), Fiber단면과 Fiber사이에 관여하는 Crack(欠陥)에 푸리아를 존재한다는 것을 광탄성 실험으로 확인함.
賀 在德, 陈 建平, 陈 建忠 (1990-1, 高 1990-11, 1990-98-101)	<ul style="list-style-type: none"> * 광고이방성 광탄성 계수 개발(C.F.E.C.) * 광탄성 강도에 따른 푸리아 속성과 경계법 개발 * 광탄성계에 의한 광고이방성 계수의 광弹性학 적용. * 광고이방성 광탄성 실험의 최소 자수법 개발
David R. Jenkins (1988) ⁽⁹⁹⁾	* 산란 광학 모델법을 사용하여 Fiber에 걸친 모자에 발생하는 푸리아에 차이를 결정하고 이 영향과 유효성을 실험으로 확인함.
D.R. Sutliff and H. Pih (1973) ⁽¹⁰⁰⁾	* 산란 광탄성 실험법을 사용하여 풀연속 Fiber가 보강한 Fiber composite의 모자에 발생하는 푸리아를 측정하여 이 결과를 유인요소법의 결과와 비교하여 그 방법의 유효성을 확인함.
D.G. Bergmeier and R.W. Alderson (1975) ⁽¹⁰¹⁾	* 산란 광탄성 실험법을 사용하여 복합재의 Fiber layers 사이의 Interlayer matrix stress를 측정함.
R.H. Marhoff and J.M. Daniel (1980) ⁽¹⁰²⁾	* 풀연 풀연집합을 사용하여 Unidirectional fiber composite가 모자에 수직과 수직연단면을 풀연에 모자에 발생하는 응력분포를 결정함.
K. Chandrasekhar, K. Abrahams Jacob and R. Prabhakaran (1977) ⁽¹⁰³⁾	<ul style="list-style-type: none"> * 응력분포법을 복합재 모델로 모델 실험을 적용. * GFRP의 고리과 산은의 광弹性학 Stress fringe value를 측정하여 서로 비교함.
R.J. Craig, M.J. Gaskins, R.H. Lee and E.O. Stiltz (1977) ⁽¹⁰⁴⁾	* 2차원 풀연우 복합재 모델로부터 발생하는 여러가지 문제들은 모세와 Fiber로 나누어 계수를 같은 계수로 사용함으로 해결될수 있다는 것을 제시함.
R. Prabhakaran (1982) ⁽¹⁰⁵⁾	* 광弹性학을 사용하여 광弹性泊め(birefringent composite)에 적용하여 주변형률과 주변형률을 분리하는 방법을 개발하고 이것을 실현적으로 확인함.
Shiv K. Chaturvedi (1989) ⁽¹⁰⁶⁾	* 대칭적인 광弹性학과 동경선을 설정할수있는 복합재 모델을 사용하여 광弹性泊め(birefringent composite)에 적용하여 주변형률을 분리하는 방법에 대한 연구.
J.T. Pindra, R.R. Kronecker and M. J. Pindra (1985) ⁽¹⁰⁷⁾	<ul style="list-style-type: none"> * 광弹性 광弹성법을 사용하여 Isodine Photelasticity를 개발함. * Isodine Photelasticity는 특별한 구조를 이용하여 복합재 내부의 풀연속 지침회용력을 결정하는 사용법에 대한 연구.
J.T. Pindra, R.R. Kronecker and M. J. Pindra (1985) ⁽¹⁰⁸⁾	<ul style="list-style-type: none"> * Glass-Fiber-Reinforced Plastic의 응력학식에 복합재 코팅 허용률을 적용함. * 광弹性泊め에 복합재 모델법의 이론에 대한 연구. * 시연과 조작의 푸리아의 차이를 경우에도 경계용력을 측정할수 있는 수평계자 개발.
R.B. Pipes and J.W. Dally (1972) ⁽¹⁰⁹⁾	* 복합재 풀연법을 이용하여 Laminate泊め의 변형률을 결정함.
Morris and H.F. Brinson (1979) ⁽¹¹⁰⁾	* 코팅과 Laminate泊め의 푸리아의 차이에 대한 Laminate 풀연법에 발생하는 광弹性학의 고장을 발견한 한정성에서에서에서.
Y.T. Yeo, D.H. Morris (1980) ⁽¹¹¹⁾	* 좋은 Rectangular slit, 각각의 단점을 가진 Graphite/Epoxy 하이네이트에 단면인장이 차단됨에 복합재 코팅법, COO 계수, 광弹性泊め 계수, 광弹性泊め 사용하여 푸리아 층, Compliance, COO 계산법, 푸리아 모수도, 푸리아 계수를 계산하는 푸리아 코팅 그리고 푸리아 층 형성에 대하여 연구함.
Isaac M. Daniel (1980) ⁽¹¹²⁾	* 푸리아를 가진 Graphite/Epoxy인 2축 아울을 밀을 때 이 전자 푸리아를 푸리아를 복합재 코팅법과 Strain gauge를 사용하여 연구함.

<p>• 원공 주위에 쇠로 파손이 발생하는 Ply와 파손 과정도 연구함</p>	
K. Kamata, N. Takada and S. Hashimoto (1984) ⁽¹¹⁴⁾	<ul style="list-style-type: none"> 원공을 가진 Fiber composite에서 축적된장 하중을 기하고 광탄성 토크법과 Cross-Schmidit法속 반사형 카메라를 사용하여 원공주위에 발생하는 Dynamic stress와 변화율을 분포를 이팅하고, 변화율에 따른 파손도를 연구함. 총 4000번 이상의 토크 테스트를 통해 원공 주변에 발생하는 힘의 변화를 관찰하고, 특수한 조립법을 통해 원자리에 위치한 실험회로를 갖는 유인오스만에 위치한 이론치와 Stress gauge로부터 얻은 실험치를 비교해 성 실증함. 복합 토크법이 충격 하중을 갖는 Fiber 복합체의 응력 해석에도 유용하게 사용될 수 있음.
Srinivasa L. Lyer and Perry Sweet (1985) ⁽¹¹⁷⁾	<p>• 원공을 가진 복합체에 단순인장을 위하여 Fiber방향에 대한 응력 집중과 회단 형태에 대한 연구.</p>

그리고 종래에 복합체의 응력해석에 응용된 광탄성 실험에 대한 연구도 표 4에 나타내었다.

위에서 보듯이 복합체를 응력해석하는데 이론적인 방법과 더불어 여러가지 실험적 방법이 있다. 그 중에서도 광탄성 실험법이 주로 사용되어 왔다. 광탄성 실험법에는 투과형 광탄성 실험법, 반사형 광탄성 실험법(복굴절 코오팅법), 사입사법, 산란광법 아이소다인 광탄성 실험법(isodyne photoelasticity) 및 응력 동결법 등이 있지만 본 연구에서는 투과형 광탄성 실험법에 대하여 설명하고자 한다. 투과형 광탄성 실험법을 사용하여 복합체 구조물을 응력해석하기 위해서는 아래와 같은 조건이 구비되어야 한다.

(1) 물리적 이방성 성질을 가지는 광탄성재료가 개발되어야 한다.

(2) 개발된 광탄성 재료가 광탄성재료로서 구비할 조건을 만족하여야 한다.

(3) 사용된 광탄성 재료의 응력 프린지치와 물성치가 측정되어야 한다.

(4) 이방성 재료의 응력집중과 파괴역학에 적용될 광탄성 실험법이 개발되어야 한다.

2. 물리적 이방성 성질을 가지는 광탄성 재료 주형법

복합체 종류에는 파이버 복합체(fiber composite), 판상 복합체(flake composite), 입자 복합체(particulate composite), 충진 복합체(filled skeletal composite) 그리고 라미나 복합체(laminar composite) 등이 있지만 본 연구에서는 파이버 복합체(fiber composite)에

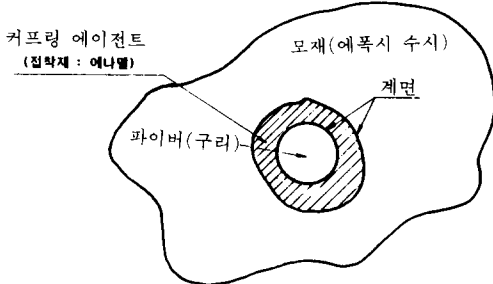


그림 3 파이버와 母材사이의 경계면의 구성

한정한다. 그리고 파이버와 母材사이에는 접착력이 좋아야 한다. 그러나 섬유나 母村의 종류에 따라서는 반드시 그 접착성이 좋지 않는 경우가 많으므로 이러한 경우에는 두 재료 혹은 한 재료의 표면처리에 의해 밀착성을 향상시키는 방법이 고려되어야 한다^(118,119). 즉 양쪽 재료의 표면에 관능기를 부여하여 공유결합, 수소결합 등으로 결합하게 하여 강력한 접착을 이루게하거나 적당한 접착제에 의해 재료끼리의 결합력을 강하게 하며 또 물리적 및 화학적 방법의 표면처리의 수단이 사용된다. 그러므로 일반적으로 복합체의 母材와 파이버 사이의 접착력을 강하게 하기 위하여 복합체의 파이버와 母材은 그림 3처럼 구성된다.

그림 2에서 에나멜(enamel), 구리(copper), 에폭시 수지(epoxy resin)등은 각각 본 연구자가 개발한 투과형 광탄성 실험의 모델 재료로 개발한 Cooper Fiber Epoxy Composite(C.F.E.)의 커프링 에이전트(coupling agent)파이버와 母材등이다. 그리고 파이버 복합체의 응력해석용 광탄성 재료를 주형할 때 母材는 반드시 광탄성 성질을 가지는 재료가 되어야 한다.

2.1 한 방향 파이버 복합체(Unidirectional Fiber Composite)

한 방향 파이버 복합체(unidirectional fiber composite)의 응력해석용 광탄성 재료는 아래와 같은 과정을 통하여 주형될 수 있다.

(1) 셀로판지를 입힌 유리판을 사용하여 주형 상자의 밑받침을 만들고 일정한 폭과 두께를 가진 유리판을 사용하여 주형 상자의 테두리를 만든다.

(2) 리이드(reed)를 가이드(guide)로 사용하여 구리 파이버(copper fiber)를 필요로 하는 피치로 평행하게 (1) 항에서 만든 주형 상자에 나열하고 그리고 각 파이버가 열을 받드라도 일정한 인장이 가해지도록 파이버의 양쪽에 인장을 가한다.

(3) 필요한 블레이드(ply) 수와 방향수 만큼 (1) 와 (2)의 과정을 반복한 후에 주형 상자가 놓여진 그림 4와 같은 주형상자를 응력동결로에 놓는다.

(4) 미리 노속에서 용해된 아를다이트(araldite)에 경화재를 중량비 10:3으로 넣고 경화재가 완전히 녹을 때까지 가열함과 동시에 젓는다.

(5) 경화재가 완전히 용해된 혼합액을 기포

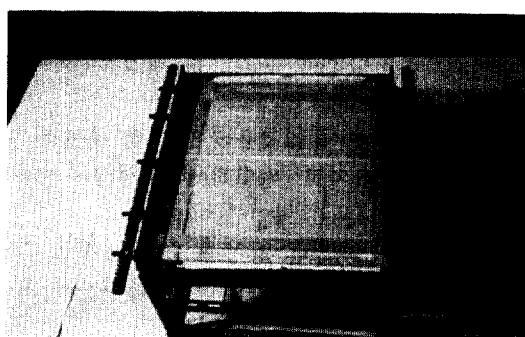


그림 4 주형 상자

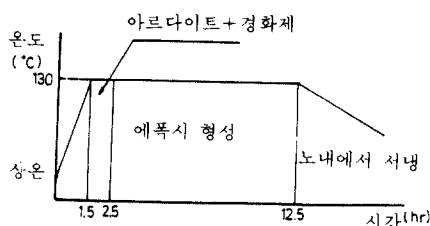


그림 5 쿠어링 사이클

가 생기지 않도록 주형 상자에 천천히 주입한다.

(6) 이러한 과정을 거친 후 주형상자를 그림 5와 같은 쿠어링 사이클(curing cycle)에 따라 열처리 한다.

2.2 부식 주형법

단 파이버 복합체(short fiber composite), 사인커브 파이버 복합체(sine curve fiber composite), 불연속 파이버 복합체 혹은 임의의 형태를 가진 파이버 복합체(fiber composite) 등의 응력해석용 광탄성 재료는 아래와 같은 부식 주형법을 사용하여 주형될 수 있다. 부식 주형법에 의한 시편 제작과정의概略圖를 그림 6에 나타내었으며 그 과정은 아래와 같다⁽¹²⁰⁾.

(1) 아크릴판을 사용하여 한쪽 면에 동판필름을 부착시킨 鎏型을 만들어 치오콜과 아를다이트(araldite)의 재료를 적당히 重合한 에폭시 레진(epoxy resin)을 주입 시켜 두께 0.1 mm 동판필름이 한쪽 면에 接着된 에폭시판을 만든다. 이때 母材인 에폭시판에 含有되는 치오콜의 含有量에 따라 母材의 彈性計數는 변화된다. 實驗結果에 의하면 치오콜의 함유량이 30% (중량비) 보다 적게 된 경우에는 母材의 彈性計數가 크기 때문에 纖維強化效果가 떨어지

	구리막이 접착된 에폭시판 준비
	포토레지스트가 접착된 그리드(Grids) 제작
	FeCl ₂ 에 의한 구리막 부식
	포토레지스트 제거
	메팅(Embedding)

그림 6 부식 주형법

고, 또한 치오콜의 함유량이 30%보다 많게 되면 母材의 탄성계수가 너무 저하된다. 그러므로 치오콜의 함유량이 30%가 적당하다.

(2) 동판필름 위에 IC回路 제작용 포토레지스트(photoresite) 감광액을 두께 $10\mu\text{m}$ 정도 유포시켜서 건조시킨다. 그리고 일정한 피치를 가진 그리드 필름(grid Film)을 위에 놓고 露光시켜 현상시킨다. 그러면 纖維部分에 해당하는 감광액은 동판필름에 남고 나머지 부분은 없어진다.

(3) 에폭시 판을 열화제2철(FeCl_2)의 용액에 담근다. 그러면 포토레지스트가 형성된 부분은 포토레지스트 감광액의 내식성 때문에 부식되지 않고 나머지 부분은 부식되어 에폭시판 위에 원하는 형태의 纖維가 形成된다.

(4) 파이버(fiber)인 동판필름 위에 남아 있는 포토레지스트 감광액을 제거하면 에폭시판 위에는 임의의 크기와 방향을 가진 銅纖維(copper fiber)만 남게 되며 이 판을 전공속에서 일정시간 유지시켜, 작업과정 중 에폭시판과 섬유에 찬류된 撥發成分을 除去시킨다.

(5) 섬유가 형성된 에폭시판 위에同一成分의 에폭시래진으로 모울딩(molding)시키면 시편내부에 임의 방향과 크기의 섬유가 매립된 투과형 광탄성 복합재료가 완성된다.

(6) 위의 과정을 통하여 얻은 複合材料는 母材인 에폭시재료가 탄성계수를 가지지 못하므로 이 複合材板을 爐속에서 일정한 사이클을 통하여 가열하면 이 複合材는 완전한 탄성계수를 갖게 된다. 만일 m 층 적층판을 만들고자 할 경우에는 위의 (1)~(5)의 과정을 m 번 반복하면 m 층 적층판을 제작할 수 있다.

2.3 띠움 주형법

크로스-파이버 복합체(cross-fiber composite)와 트란스 버스 등 방성체(transverse isotropic material)등의 광탄성 재료는 아래와 같은 띠움 주형법에 의하여 주형될 수 있다.

(1) 얇은 셀루판지를 입힌 유리판을 사용하여 크로스-파이버 복합체(cross-fiber com-

posite) 혹은 트란스버스 등방성체의 제작용 주형 상자의 밀받침을 만들고 일정한 폭과 두께를 가진 유리판을 이용하여 주형 상자를 완성한 다음에 爐안에 넣어 130°C 에서 충분히豫熱한다.

(2) 십자로 짜여진 유리섬유 혹은 임의의 방향으로 같은 탄성계수를 가진 유리섬유 등을 주형 상자에 충분히 들어갈 수 있게끔 크기를 조절하여 제단하여 둔다.

(3) 제단된 유리섬유는 연구자가 요구하는 시편의 강도에 따라 유리섬유를 1장에서 임의의 장수까지 준비한다. 이때 빛의 투과성을 고려하여야 한다.

(4) 미리 爐속에서 용해된 적당한량의 아를다이트(araldite)에 경화재(hardner)를 중량비 $10:3$ 으로 넣고 경화재(hardner)가 완전히 녹을때까지 가열함과 동시에 젓는다.

(5) 경화재(hardner)가 완전히 용해 될때까지 잘 관찰하여 액이 투명하게된 직후 이 액을 1) 항에서 준비된 주형 상자에 기포발생에 유의하면서 적당한 량을 붓는다.

(6) 연구자가 요구하는 양만큼 유리섬유가 배열되도록 (5) 항의 유리섬유 배열 과정을 반복한다.

(7) 혼합액이 유리섬유에 완전히 흡수된 후 나머지액을 천천히 주입하여 주형상자(molding box)에 적당한 양만큼 채운다.

(8) 이러한 과정을 거친후 주형 상자를 그림 5와 같은 쿠어링 사이클(curing cycle)에 따라 열처리 한다.

3. 광탄성 재료로서 구비할 조건

광탄성 실험에서 가장 중요한 것 중 하나는 광탄성 모델재료를 선정하는 것이다. 완전한 광탄성 모델 재료는 이 세상에는 존재하지 않는다. 그러나 이상적인 광탄성 재료에 나타나는 중요한 성질은 아래와 같다⁽¹²¹⁾.

(1) 투과성(transparency), (2) 광탄성감도(sensitivity), (3) 선형성(linearity), (4) 등

방성(isotropy and homogeneity), (5) 크리이프(creep), (6) 탄성계수 및 비례한도(modulus of elasticity and proportional limit), (7) 온도감도(temperature sensitivity), (8) 시간영향(time edge effect), (9) 기계가공성(machinability), (10) 잔류응력(residual stress), (11) 재료비(cost of material)

(1) 투과성

투과형 광탄성 실험장치를 사용하는 경우에는 선명한 등색선을 얻기 위해서는 시편의 빛의 투과성이 좋아야 한다. 그러나 반사형 광탄성(birefrigent coating method) 실험장치를 사용하는 경우에는 시편의 빛의 투과성이 문제되지 않는다.

(2) 광탄성 감도

광탄성 감도($1/f\sigma$)가 높을수록 같은 하중조건하에서는 무늬수가 많이 발생하므로 광탄성 모델재료는 광탄성 감도가 좋을수록 좋다. 광탄성 모델재료로서 사용될 수 있는 광탄성 감도는 $43.98 \times 10^{-3} \leq f\sigma \leq 35.67 \text{ Kg/mm}$ ($0.0005 \leq f\epsilon \leq 0.50$) 내에 존재하여야 한다.

(3) 선형성

어떤 구조물을 응력해석 하기 위해서는 그 구조물의 하중조건, 경계조건, 기하학적 조건 등을 상사시켜서 모델해석을 하여야 한다. 그러므로 광탄성 재료는 응력과 변형률과의 관계와 무늬차수와 응력과의 관계등이 탄성한도 내에서는 선형적으로 변화되어야 한다. 그림 7 과 그림 8은 본 연구자가 이방성 광탄성 재료로 개발한 C.F.E.C(copper fiber epoxy composite)의 응력과 변형률 그리고 응력과 무늬차수 관계를 각각 나타낸 것이다. 이 그림에서 보듯이 어느 경우에서도 서로 선형적으로 변화된다는 것을 알 수 있다. 그러므로 C.F.E.C.는 선형성 문제에서는 우수하다는 것을 알 수 있다.

(4) 등방성

일반적으로 등방성재료를 모델해석하고자 할 때는 투과용 광탄성 실험장치에 등방성재료인 광탄성 재료를 사용하여야 한다. 그리고 이방

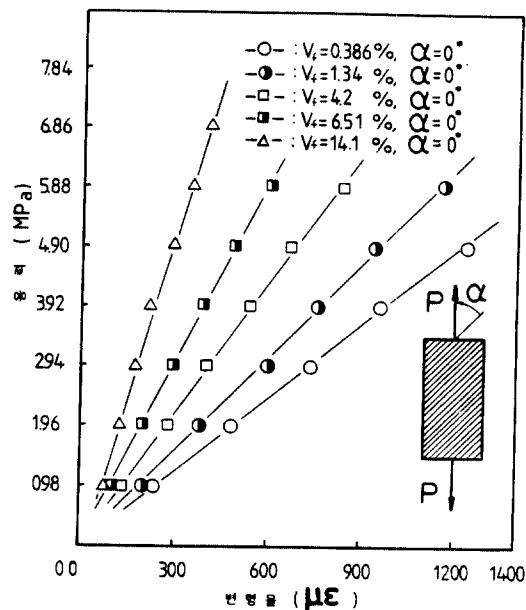


그림 7 C.F.E.C.의 응력과 변형률의 관계

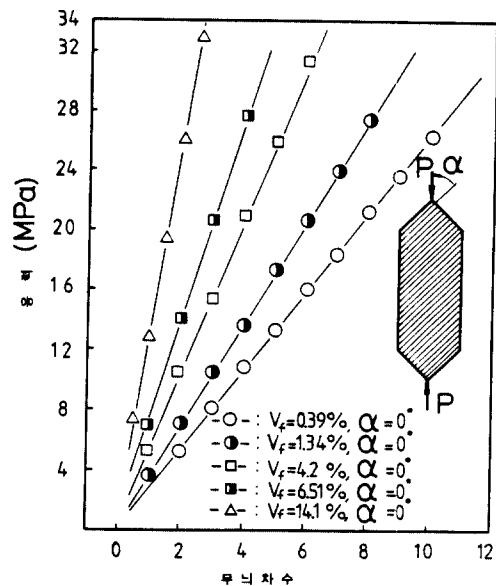


그림 8 C.F.E.C.의 응력과 무늬차수와의 관계

성재료를 광탄성 실험으로 모델해석을 하고자 할 때는 이방성 재료의 성질을 균일하게 갖는 광탄성 모델재료를 사용하여야 한다.

(5) 크리프(Creep)

대부분 광탄성재료의 母材(matrix)은 고분자 재료이기 때문에 광탄성 재료는 기계적 및 광학적 성질에서 크리이프 현상을 갖고 있다. 광탄성 실험에 사용되어온 폴리머(polymers)은 점탄성이다. 점탄성재료에서 응력과 변형률은 식 (1)처럼 위치와 시간의 함수로 곱으로 나타낼 수 있다.

$$\begin{aligned}\sigma^*(x \cdot y \cdot t) &= \sigma(x \cdot y) f(t) \\ \epsilon^*(x \cdot y \cdot t) &= \epsilon(x \cdot y) g(t)\end{aligned}\quad (1)$$

그리고 주응력차와 주변형률차는 식 (2)처럼 나타낼 수 있다.

$$\sigma_1 - \sigma_2 = \frac{N}{h} f_\sigma(t) \quad \epsilon_1 - \epsilon_2 = \frac{N}{h} f_\epsilon(t) \quad (2)$$

여기서 $f\sigma(t)$ 과 $f\epsilon(t)$ 은 시간의 함수이고 h 는 시편의 두께이다. 그러나 사진을 찍는 시간은 매우 짧으므로 $f\sigma(t)$ 과 $f\epsilon(t)$ 은 일정하다고 간주할 수 있다. 그리고 대부분 모델재료에서 응력프린지치는 하중을 가한 바로 후에 급하게 감소한다. 그리고 한 시간후에는 거의 완전한 위치에 도달하게 된다. 그래서 복합체 응력해석용 광탄성재료의 크리이프 현상을 조사하기 위하여 $f\sigma(t)$ 를 시간에 따라 측정하기가 매우 번거로으므로 $f\sigma(t)$ 가 관계되는 시간과 무늬 차수 관계를 일정한 하중을 받고 있는 시편의 임의의 일정한 점에서 구한다. 식 (2)에 의하면 모델의 무늬차수는 일정한 하중하에서 변화한다. 이 변화를 광학적 크리이프라고 한다. 광학적 크리프 현상이 없는 것이 광탄성 재료로서 좋은 재료이다.

(6) 탄성계수와 비례한도

광탄성 실험은 모델해석이므로 광탄성재료가 하중을 받더라도 기하학적 형상이 변하지 않기 위하여는 높은 세로 탄성계수를 가져야 한다. 등방성 광탄성재료에 있어서 비틀에 견디는 저항 능력을 판단하는데 사용될 수 있는 계수는 $1/f\epsilon$ 혹은 $1/f\sigma(1+\nu)$ 이다. ν 은 그 재료의 포와 송의 비이다. 그리고 등방성 재료에서 포와 송의 비는 일정하기 때문에 $E/f\sigma(1+\nu)$ 은 $Q=E/f\sigma$ 로 변환된다. 그러나 복합체 평면 문

제에서 x 축 방향으로 단순인장을 받을 때 $1/f\epsilon^* = E_{xx}/f_x(1+\nu_{xy})$ 로 표시될 수 있다. 여기서 $f\epsilon^*$ 은 x 방향의 변형률 프린지치(strain fringe value), E_{xx} 와 f_x 은 각각 x 방향의 세로 탄성 계수와 응력 프린지치이다. 그리고 $\nu_{xy} = -\epsilon_x/\epsilon_y$ 이다. 이방성 재료에서도 $Q_x = E_{xx}/f_x$ 로 나타낼 수 있다. 그리고 모델실험을 할 때 그 모델은 높은 하중을 받더라도 파단되지 않도록 높은 비례한도 σ_{p1} 를 가져야 한다. 그러므로 높은 하중까지 힘을 가할 수 있으므로 광탄성 무늬를 많이 얻을 수 있다. 그러면 실험의 정도를 높일 수 있다. 이방성 모델재료의 감도계는 $S = \sigma_{p1}/f_x$ 로 정의될 수 있다. 그러므로 재료의 Q 와 S 가 클수록 광탄성 모델재료로서는 좋다.

(7) 온도 감도

대부분 플리메틱 플라스틱의 $f\sigma$ 은 온도에 따라 미소하게 변화한다. 일반적으로 사용되는 에폭시의 $f\sigma$ 은 $0.071/in^{\circ}\text{F}$ ($0.022\text{KN/m}^{\circ}\text{C}$)이다. 그러나 150°F (65°C)보다 높은 온도에서는 $f\sigma$ 가 매우 예리하게 떨어지기 시작한다. 보통 실내온도 (24°C , 75°F)에서는 온도에 대한 $f\sigma$ 의 곡선은 수평선이다. 그러므로 상온 실험에서는 별로 문제가 되지 않는다. 그리고 온도변화가 $\pm 5^{\circ}\text{F}$ ($\pm 3^{\circ}\text{C}$)이면 $f\sigma$ 의 변환은 무시될 수 있다.

(8) 시간영향

관찰되는 무늬는 하중에 의하여 생기는 무늬와 시간응력(time stress) 결과로 생기는 무늬가 중첩되어 나타내어진다. 시간응력은 경계상에서 매우 뚜렷하게 나타나므로 테두리 응력을 위하여 발생하는 오차는 경계선상의 응력을 결정하는데 아주 중요한 영향을 미친다. 그리고 시간영향은 공기속에 있는 수증기가 플라스틱 속으로 확산하거나 혹은 플라스틱이 공기속으로 확산하므로 발생한다. 시간영향이 발생하는 비율은 공기속의 상대습도와 온도에 의하면 시간응력은 2~3시간이내에서 크게 발생하기 때문이다. 그러나 상대 습도가 높은 경우에는 시편을 가공한 즉시 시편을 기름 속에서 보관하

면 시간영향을 방지할 수 있다.

(9) 기계 가공성

플라스틱을 자를 때는 상당한 절단력에 의하여 절단 되므로 플라스틱에 열이 발생한다. 따라서 기계 가공할 때 발생하는 경계응력은 영원히 모델에 잔류하게 되므로 이것이 상당히 광탄성 실험 정도를 떨어 뜨린다. 그러므로 모델을 기계 가공할 때는 높은 절단력과 열이 발생하지 않도록 주의를 하여야 한다.

(10) 잔류 응력

잔류 응력이 광탄성 모델에 생기면 모델에 가해지는 하중에 의하여 생기는 응력분포의 무늬에 중첩되므로 매우 큰 오차가 발생한다. 그리고 이것을 제거시키는 것은 매우 어렵다. 이러한 것은 쿠우링 시이클(curing cycle)을 통하여 수평이 되는 평판위나 기름이 담겨진 용기에서 소둔점 이상으로 조절하여 잔류응력을 감소시킬 수 있다. 그러나 광탄성 모델재료의 생산 과정에서 생긴 잔류 응력을 완전히 제거하기는 거의 불가능하다. 그러므로 될 수 있는 한 생산 과정에서 잔류 응력이 생기지 않도록 최선을 다하여야 한다. 그리고 복합재의 잔류 응력은 섬유와 母材의 선팽창 계수의 차이 때문에 발생하는 수축량의 차이로 주로 발생한다. 이것을 방지하기 위하여 파이버(fiber)와 母材등의 선팽창 계수의 차가 적은 것을 사용해야 한다.

(11) 재료비

일반적으로 광탄성 해석에서 모델재료의 가격은 전체 경비에 비하여 매우 적은 부분에 속한다. 그러므로 재료경비는 별로 문제가되지 않는다고 생각한다.

4. 응력 프린지치(Stress Fringe Value)와 물성치와의 관계

동방성체의 광탄성 재료인 경우 응력 프린지치와 물성치는 모든 방향에 일정하지만 복합체에는 방향에 따라 물성치와 응력 프린지치가 다르다. 그러므로 직교 이방성체의 기본 물성치($E_L, E_T, G_{LT}, \nu_{LT}$)와 응력 프린지치(f_L, f_T, f_{LT} ,

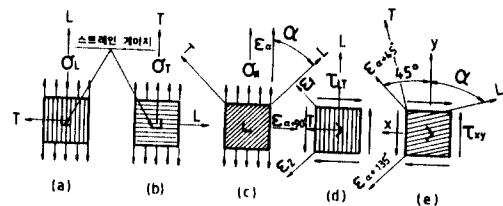


그림 9 기본 응력 프린지치와 물성치의 측정용 시편

f_{LT})의 측정은 그림 9처럼 한다. 그러나 변형률과 응력 프린지치는 각각 분리하여 측정하여야 한다. 응력 프린지치의 모델에서 각각 측정되어지는 무늬차수, 변형률 그리고 작용하는 하중을 식 (3)과 (4)에 작용하여 응력 프린지치와 물성치등을 측정할 수 있다.

$$f_L = \frac{\sigma_L \cdot t}{n_L}, \quad f_T = \frac{\sigma_T \cdot t}{n_T}, \quad f_{LT} = \frac{2\tau_{LT} \cdot t}{n_{LT}}$$

$$f_a = \frac{\sigma_a t}{n_a}, \quad (f_{LT})_a = \frac{2\tau_{xy} \cdot t}{n_{xy}} \quad (3)$$

여기에서 n 은 무늬차수, t 는 시편의 두께를 나타낸다.

$$E_L = \frac{\sigma_L}{\epsilon_L}, \quad E_T = \frac{\sigma_T}{\epsilon_T}, \quad E_a = \frac{\sigma_a}{\epsilon_a},$$

$$(G_{LT})_a = \frac{\tau_{xy}}{\epsilon_1 - \epsilon_2} = \frac{\tau_{xy}}{\epsilon_a + \frac{\pi}{4} - \epsilon_a + \frac{3}{4}\pi}$$

$$G_{LT} = \frac{\tau_{LT}}{\epsilon_1 - \epsilon_2} = \frac{-\epsilon_T}{\epsilon_L}, \quad \nu_{LT} = \frac{\nu_{TL}}{E_T} \quad (4)$$

$$\nu_a = -\frac{\epsilon_a + \frac{\pi}{2}}{\epsilon_a} \quad (5)$$

식 (3), (4), (5)을 보면 광탄성 성질을 가진 직교 이방성체의 응력 프린지치 f_L, f_T, f_{LT} 는 탄성계수 E_L, E_T, G_{LT} 와 상사하며 일정한 관계가 있다고 생각할 수가 있다.⁽⁷⁰⁾ 그리고 파이버(fiber)의 응력 프린지치가 무한대이고, 母材가 파이버(fiber)를 둘러싸고 있는 복합체의 응력 프린지치와 물성치와의 관계식은 식 (6)과 같다.⁽⁸²⁾

$$f_L = \frac{E_L f_m}{E_m V_m} \quad (6.a)$$

$$f_T = \frac{E_T f_m}{E_m V_m} \quad (6.b)$$

$$f_a = \frac{E_a f_m}{E_m V_m} \quad (6.c)$$

$$f_{LT} = \frac{G_{LT} f_m}{E_m V_m} \quad (6.d)$$

$$(f_{LT})_a = \frac{(G_{LT})_a \cdot f_m}{G_m \cdot V_m} \quad (6.e)$$

그리고 f_L 과 f_T 는 그림 9의 (a)와 (b)에서 스트레이인 게이지(strain gauge)가 붙지 않는 상태에서 가하는 하중과 발생하는 무늬차수로서 쉽게 측정할 수 있으나 f_{LT} 는 그림 9의 (d)처럼 순수 전단 하중을 가하기가 어렵고 번거롭다. 그러므로 f_{LT} 는 식 (7)을 사용하여 구할 수 있다.⁽⁶²⁾

$$f_a = f_L \left[\left(\cos^2 \alpha - \frac{f_L}{f_r} \sin^2 \alpha \right)^2 + \left(\frac{f_L}{f_{LT}} \right)^2 \sin^2 2\alpha \right]^{-1/2} \quad (7)$$

즉 그림 9의 (a)와 (b)에서 f_L 과 f_T 를 측정하고 또 그림 9의 (c)에서 $\alpha = 45^\circ$ 인 경우의 f_{45} 를 측정한다. 그리고 f_L, f_T, f_{45} 를 식 (7)에 대입하여 간접적으로 f_{LT} 를 구한다. 그리고 식 (16.f)의 a_{66} 가 $\frac{1}{(G_{LT})_a}$ 에 해당하므로 식 (16.f)을 식 (6.e)에 대입하면 $(f_{LT})_a$ 를 구할 수 있고 식 (8)로써 나타낼 수 있다.

$$(f_{LT})_a = \frac{f_m}{G_m V_m} \times \left[\frac{1}{4 \left(\frac{1}{E_L} + \frac{1}{E_T} + \frac{2\nu_{LT}}{E_L} - \frac{1}{G_{LT}} \right) \ell^2 m^2 + \frac{1}{G_{LT}}} \right] \quad (8)$$

식 (8)에 식 (6)을 대입하면 $(f_{LT})_a$ 는 물성치와 응력 프린지치의 관계식으로 나타낸 것이고 식 (9)와 같다.

$$(f_{LT})_a = 1/G_m \left[\frac{4}{E_m} \left(\frac{1}{f_T} + \frac{1}{f_r} + \frac{2\nu_{LT}}{f_L} \right) \ell^2 m^2 - \frac{1}{G_m} \left(\frac{4\ell^2 m^2}{f_{LT}} - \frac{1}{f_{LT}} \right) \right] \quad (9)$$

식 (8)과 식 (9)은 그림 3의 e의 경우를 간접적으로 구하는 식이다. 광탄성 성질을 가지는 직교 이방성체의 기본 물성치와 모재의 물성치를 알면 식 (8)로부터 간접적으로 $(f_{LT})_a$ 를 구할 수 있다. 그리고 광탄성 성질을 가지는 직

교 이방성체의 기본 응력 프린지치와 모재의 물성치를 알면 식 (9)로서 $(f_{LT})_a$ 를 구할 수 있다. 복합체의 물성치는 파이버의 물성치와 모재의 물성치로서 식 (10)으로 나타낼 수 있다.

$$E_L = E_f \cdot V_f + E_m \cdot V_m \quad (10.a)$$

$$E_T = \left[\frac{E_f + E_m + (E_f - E_m) V_f}{E_f + E_m - (E_f - E_m) V_f} \right] E_m \quad (10.b)$$

$$E_{45} = \left[\frac{E_f + E_m + 0.707(E_f - E_m) V_f}{E_f + E_m - 0.707(E_f - E_m) V_f} \right] E_m \quad (10.c)$$

식 (10.a) 와 (10.b)는 마이크로메카닉스(micromechanics) 면에서 유도된 복합체의 물성치를 나타내고 식 (10.c)는 파이버(fiber) 방향에서 하중방향이 45° 인 경우의 탄성계수를 나타내며 V_f (화이버의 체적비율) 항에 $\cos 45^\circ = 0.707$ 배한 실험식이다. 식 (10)을 식 (6)에 대입하면 식 (11)가 얻어진다.

$$f_L = \frac{(E_m \cdot V_m + E_f \cdot V_f) f_m}{E_m \cdot V_m} \quad (11.a)$$

$$f_L = [E_m + E_f + (E_f - E_m) V_f] f_m$$

$$[E_m + E_f - (E_f - E_m) V_f] V_m \quad (11.b)$$

$$f_{45} = \frac{[E_m \cdot E_f + 0.707(E_f - E_m) V_f]}{[E_m + E_f - 0.707(E_f - E_m) V_f]} \frac{f_m}{V_m} \quad (11.c)$$

$$f_{LT} = f_L \left[\left(\frac{f_L}{f_{45}} \right)^2 - \frac{1}{4} \left(1 - \frac{f_L}{f_T} \right)^2 \right]^{\frac{1}{2}} \quad (11.d)$$

식 (11.a), (11.b), (11.c)는 물성치와 응력 프린지치와의 관계를 나타내고, 식 (11.d)는 식 (7)에서 $f_a = f_{45}$ 를 대입하여 구한 식으로 f_L, f_T, f_{45} 와 f_{LT} 관계를 나타내고 있다. 응력 프린지치로서 물성치를 구하는 방법은 크게 두 가지로 나눌 수 있고 아래와 같다⁽¹⁰⁴⁾.

4.1 복합체 모재의 세로 탄성 계수(E_m)와 모재의 응력 프린지치(f_m)를 알 경우

복합체의 모재의 세로 탄성계수 E_m 가 응력 프린지치 f_m 를 알고 있을 때 복합체의 응력 프린지치 f_L 만 측정하면 식 (6.a)에서 E_L 를 구할 수 있다. 그리고 E_L 를 식 (10.a)에 대입하여

E_f 를 구하고 이렇게 구한 E_m , E_f 를 식 (10.b), (10.c) 및 식 (11.a), (11.b), (11.c)에 대입하여 E_T 와 E_{45} 그리고 f_L , f_T , f_{LT} 등을 각각 구할 수 있다. 이때 구한 f_L , f_T , f_{45} 를 식 (11.d)에 대입하면 f_{LT} 도 구할 수 있고 이것을 다시 식 (6.d)에 대입하면 G_{LT} 를 구할 수 있다. 그러므로 광탄성 실험용 직교 이방성체의 응력프린지치 f_L 만 측정하면 위의 과정을 거쳐 E_L , E_T , E_{45} , G_{LT} , f_L , f_T , f_{LT} 등의 물성치와 응력프린지치를 구할 수 있다.

4.2 복합체 모재의 세로탄성계수(E_m)와 파이버의 세로탄성계수 E_f 를 모를 경우

복합체의 모재의 세로 탄성 계수 E_m 과 화이버의 세로 탄성계수 E_f 를 모르는 경우에는 우선 스트레인 게이지(strain gauge)로 화이버 방향의 시편의 세로 탄성계수 E_L 과 포와송의 비 ν_{LT} 를 측정하고 응력 프린지치 f_L 를 측정한다. 이렇게 측정된 E_L 과 f_L 를 식 (6.a)와 (10.a)에서 E_m , E_f 를 구하고 식 (10.b), (10.c) 및 (11)에 대입하면 E_T , E_{45} , f_L , f_T , f_{45} 를 구한다. 이것을 식 (6.d)에 대입하여 G_{LT} 를 구한다. 그러면 직교 이방성체를 광탄성 실험으로 해석코 져 할 때 필요한 E_L , E_T , G_{LT} , ν_{LT} 와 응력 프린지치 f_L , f_T , f_{LT} 등을 얻을 수 있다. 그리고 이방성체의 평면 문제에 대한 변형률의 적합 조건식의 편미분 방정식의 특성 방정식은 식 (12)와 같다.

$$\begin{aligned} & a_{11}\mu_j^4 - 2a_{16}\mu_j^3 + (2a_{12} + a_{66})\mu_j^2 \\ & \quad - 2a_{26}\mu_j + a_{22} = 0 \end{aligned} \quad (12)$$

이방성체의 주축과 좌표축이 일치하는 경우 $a_{16} = a_{26} = 0$ 가 된다. 이 경우의 식 (12)은 식 (13)로 변경된다.

$$a_{11}\mu_j^4 + (2a_{12} + a_{66})\mu_j^2 + a_{22} = 0 \quad (13)$$

직교 이방성체의 주축과 좌표축 x , y 축이 일치하는 경우 탄성계수 a_{ij} 는 식 (14)와 같이 나타낼 수 있다.

$$\left. \begin{aligned} a_{11} &= \frac{1}{E_L}, \quad a_{12} = \frac{\nu_{LT}}{E_L} = -\frac{\nu_{TL}}{E_T} \\ a_{22} &= \frac{1}{E_T}, \quad a_{66} = \frac{1}{G_{LT}} \end{aligned} \right\} \quad (14)$$

만약에 직교 이방성체의 주축, 즉 파이버 방향이 기준축 x 에 대해 β_1 만큼 경사진 경우에는 식 (13)은 다시 식 (15)으로 된다.

$$\begin{aligned} & a_{11}'\mu_j^4 - 2a_{16}'\mu_j^3 + (2a_{12}' + a_{66}')\mu_j^2 \\ & \quad - 2a_{26}'\mu_j + a_{22}' = 0 \end{aligned} \quad (15)$$

이때 a'_{ij} 는 식 (16)로 나타낼 수 있다.

$$a'_{11} = \frac{\ell^4}{E_L} + \frac{m^4}{E_T} + \ell^2 m^2 \left(\frac{1}{G_{LT}} - \frac{2\nu_{LT}}{E_L} \right) \quad (16.a)$$

$$\begin{aligned} a'_{12} &= \left(\frac{1}{E_L} + \frac{1}{E_T} + \frac{2\nu_{LT}}{E_L} - \frac{1}{G_{LT}} \right) \\ & \quad \ell^2 m^2 - \frac{\nu_{LT}}{E_L} \end{aligned} \quad (16.b)$$

$$a'_{22} = \frac{m^4}{E_L} + \frac{\ell^4}{E_T} + \ell^2 m^2 \left(\frac{1}{G_{LT}} - \frac{2\nu_{LT}}{E_L} \right) \quad (16.c)$$

$$\begin{aligned} a'_{16} &= -\left[2\left(\frac{m^2}{E_T} - \frac{\ell^2}{E_L} \right) + \left(\frac{1}{G_{LT}} - \frac{2\nu_{LT}}{E_L} \right) \right. \\ & \quad \left. (\ell^2 - m^2) \right] \ell m \end{aligned} \quad (16.d)$$

$$\begin{aligned} a'_{26} &= -\left[2\left(\frac{\ell^2}{E_T} - \frac{m^2}{E_L} \right) - \left(\frac{1}{G_{LT}} - \frac{2\nu_{LT}}{E_L} \right) \right. \\ & \quad \left. (\ell^2 - m^2) \right] \ell m \end{aligned} \quad (16.e)$$

$$\begin{aligned} a'_{66} &= 5\left(\frac{1}{E_T} + \frac{1}{E_L} - \frac{2\nu_{LT}}{E_L} - \frac{1}{B_{LT}} \right) \\ & \quad \ell^2 m^2 + \frac{1}{G_{LT}} \end{aligned} \quad (16.f)$$

이때 $\ell = \cos\beta_1$, $m = \sin\beta_1$ 이다.

식 (13), (14), (15), (16) 등에서 알 수 있듯이 직교 이방성체는 기본 물성치 E_L , E_T , G_{LT} , ν_{LT} 만 알면 식 (13), (15)의 특성근 μ_j 를 알 수 있다. 이 μ_j 는 직교이방성체의 관점에서 해석하고자 할 때 반드시 필요한 것이다. 그러므로 특히 E_L , E_T , G_{LT} , ν_{LT} 등을 직교 이방성체의 기본물성치라 한다. 그리고 식 (16)에 식 (6)을 대입하면 식 (17)이 얻어진다.

$$\begin{aligned} a'_{11} &= \frac{f_m}{E_m \cdot V_m} \left(\frac{\ell^4}{f_L} + \frac{m^4}{f_T} \right) + \frac{f_m}{V_m} \\ & \quad \left(\frac{1}{G_m f_{LT}} - \frac{2\nu_{LT}}{E_m f_L} \right) \ell^2 m^2 \end{aligned} \quad (17.a)$$

$$\begin{aligned} a'_{12} &= \frac{f_m}{E_m \cdot V_m} \left(\frac{1}{f_L} + \frac{1}{f_T} + \frac{2\nu_{LT}}{f_L} \right) \ell^2 m^2 \\ & \quad - \frac{f_m}{V_m} \left(\frac{\ell^2 m^2}{G_m f_{LT}} + \frac{\nu_{LT}}{E_m f_L} \right) \end{aligned} \quad (17.b)$$

$$a'_{22} = \frac{f_m}{E_m \cdot V_m} \left(\frac{m^4}{f_L} + \frac{\ell^4}{f_T} \right) + \frac{f_m}{V_m} \quad (17.c)$$

$$\left(\frac{1}{G_m f_{LT}} - \frac{2\nu_{LT}}{E_m f_L} \right) \ell^2 m^2 \quad (17.c)$$

$$a'_{16} = -\left[\frac{2f_m}{E_m \cdot V_m} \left(\frac{m^2}{f_T} - \frac{\ell^2}{f_L} \right) + \frac{f_m}{V_m} \left(\frac{1}{G_m f_{LT}} - \frac{2\nu_{LT}}{E_m f_L} \right) (\ell^2 - m^2) \ell m \right] \quad (17.d)$$

$$a'_{26} = -\left[\frac{2f_m}{E_m \cdot V_m} \left(\frac{\ell^2}{f_T} - \frac{m^2}{f_L} \right) - \frac{f_m}{V_m} \left(\frac{1}{G_m f_{LT}} - \frac{2\nu_{LT}}{E_m f_L} \right) (\ell^2 - m^2) \ell m \right] \quad (17.e)$$

$$a'_{66} = \frac{4f_m}{E_m V_m} \left(\frac{1}{f_T} + \frac{1}{f_L} + \frac{2\nu_{LT}}{f_L} \right) \ell^2 m^2 - \frac{f_m}{G_m V_m} \left(\frac{\ell^2 m^2}{f_{LT}} - \frac{1}{f_{LT}} \right) \quad (17.f)$$

식 (17)는 탄성계수 a'_{ij} 를 모재의 물성치와 응력 프린지치의 관계식으로 나타낸 식이다. 그러므로 앞에서 설명한 응력 프린지치로서 물성치를 구할 수 있는 2가지 방법 중에 하나를 사용하여 탄성계수 a'_{ij} 의 모든 값을 식 (17)로서 구할 수 있다. 그리고 파이버 방향에 대한 하중방향이 α 인 물성치 E_α , G_α , ν_α 는 식 (18), (19), (20) 등으로 나타낼 수 있다. 이때 $1/(E_\alpha, \frac{1}{(G_{LT})_\alpha})$ 은 식 (16)의 a_{11} 과 a_{66} 에 해당된다.

$$\frac{1}{E_\alpha} = \frac{\ell^4}{E_L} + \frac{m^4}{E_T} + \ell^2 m^2 \left(\frac{1}{G_{LT}} - \frac{2\nu_{LT}}{E_L} \right) \quad (18)$$

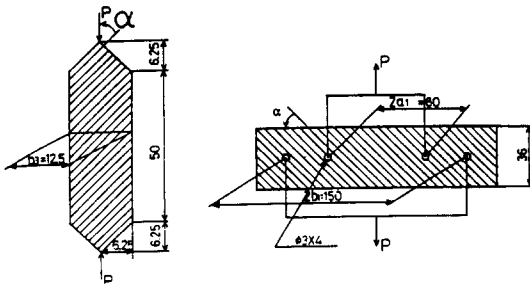
$$\frac{1}{(G_{LT})_\alpha} = 4 \left(\frac{1}{E_T} + \frac{1}{E_L} + \frac{2\nu_{LT}}{E_L} - \frac{1}{G_{LT}} \right) \ell^2 m^2 + \frac{1}{G_{LT}} \quad (19)$$

$$\nu_\alpha =$$

$$\frac{\nu_{LT}}{E_L} (1 + \tan^4 \alpha) + \left(\frac{1}{G_{LT}} - \frac{1}{E_L} - \frac{1}{E_T} \right) \tan^2 \alpha \quad (20)$$

식 (18), (19), (20)에 식 (6)을 대입하면 E_α , $(G_{LT})_\alpha$ 및 ν_α 등은 물성치와 응력 프린지치의 관계식으로 나타낼 수 있고, 식 (21), (22), (23) 등이 얻어진다.

$$\frac{1}{E_\alpha} = \frac{f_m}{E_m \cdot V_m} \left(\frac{\ell^2}{f_L} + \frac{m^4}{f_T} + \frac{f_m}{V_m} \right) \left(\frac{1}{G_m \cdot f_{LT}} - \frac{2\nu_{LT}}{E_m \cdot f_L} \right) \ell^2 m^2 \quad (21)$$



(a) 다이아몬드형 시편 (b) 순수 굽힘 모멘트

그림 10 응력 프린지치 측정용 시편

$$\frac{1}{G_\alpha} = \frac{4f_m}{E_m \cdot V_m} \left(\frac{1}{f_T} + \frac{1}{f_L} + \frac{2\nu_{LT}}{f_L} \right) \ell^2 m^2 - \frac{f_m}{G_m \cdot V_m} \left(\frac{4\ell^2 m^2}{f_{LT}} - \frac{1}{f_{LT}} \right) \quad (22)$$

$$\nu_\alpha =$$

$$\left[\frac{\frac{\nu_{LT}}{E_m f_L} (1 + \tan^4 \alpha) + (1/G_m - 1/E_m f_L - 1/E_m f_T) \tan^4 \alpha}{\left[\frac{1}{E_m} \left(\frac{1}{f_L} + \frac{1}{f_T} \tan^4 \alpha \right) + \left(1/G_m f_{LT} - \frac{2\nu_{LT}}{E_m f_L} \right) \tan^2 \alpha \right]} \right]^{1/2} \quad (23)$$

식 (21), (22), (23)에서 알 수 있듯이 모재의 물성치와 응력 프린지치 및 복합체의 응력 프린지치만 알면 물성치 E_α , $(G_{LT})_\alpha$, ν_α 등을 구할 수 있다. 그리고 E_α 는 방정식 (6.c)에 (7)을 대입하여 얻은 식 (24)에서도 구할 수 있다.

$$E_\alpha = \frac{E_m \cdot V_m}{f_m} f_L \left[\left(\cos^2 \alpha - \sin^2 \alpha \frac{f_L}{f_T} \right)^2 + \left(\frac{f_L}{f_{LT}} \right)^2 \sin^2 2\alpha \right]^{-1/2} \quad (24)$$

그리고 응력 프린지치 f_L , f_T , f_{45} 등을 측정하기 위해 그림 10과 같은 CD(compressed Diamond) 시편을, f_{LT} , $f_{LT}\alpha$ 등을 측정하기 위해서는 그림 11과 같은 ACD(arcon circular disk)와 HIST(hawong iosipescu shear test) 시편을 사용하였다.

표 5는 스트레인 게이지(strain gage)로부터 직접 측정한 E_α , 식 (18)로부터 얻은 E_α 와 직접 측정한 응력 프린지치를 식 (6)에 대입하여 얻은 E_α 등을 나타내고 또한 식 (7)로부터 얻은 응력 프린지치 f_α 와 CD시편으로부터 얻은

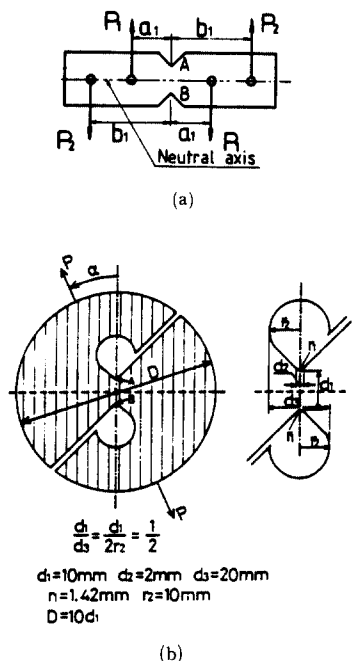
그림 11 응력 프린지치 f_{LT} 와 G_{LT} 측정용 시편

표 5 탄성계수와 응력프린지치 측정

$V_f (\%)$	α	스트레인계 자에서 측정 한은 E_a (MPa)	CD시 편에서 측정한 f_a	방정식(1) 에서 구한 E_a (KPa·m)	E_a MPa
1.34	0°	4870.6	13.0928	4870.6	72695.42
1.34	45°	4018	10.78	4010.16	10.785
1.34	90°	4091.5	11.172	4155.2	10.878
6.545	0°	8437.8	26.117	8437.8	77146.58
6.545	45°	3983.12	11.76	3799.446	12.1912
6.545	90°	3978.84	12.201	3941.56	12.6332
14.1	0°	11760	39.2	11760	39.2
14.1	45°	4327.68	13.9552	4186.56	14.576
14.1	90°	4694.2	4700.08	4580.32	15.582

탄성계수 : E_a (MPa), V_f : 복합체의 화이버 체적비율
응력프린지치(S.P.V.) : f_a (kPa m)

f_a 등을 나타내고 있다. 표 5에서 알 수 있듯이 응력 프린지치를 식 (6)에 대입하여 얻은 E_a 와 식 (18)로부터 얻은 E_a 는 스트레인 계이지로부터 직접 측정한 E_a 와 잘 일치하고 있음을 알 수 있고 또 식 (7)로부터 얻은 응력 프린지치 f_a 와 CD시편으로부터 직접 측정한 f_a 도 잘 일치함을 알 수 있다.

그림 12, 13는 V_f 가 6.5%인 경우 E_a , G_a , f_a (f_{LT}) α 의 실험치와 이론치를 물리적 등경선 (physical isolinic) α 에 대해 나타낸 것이다.

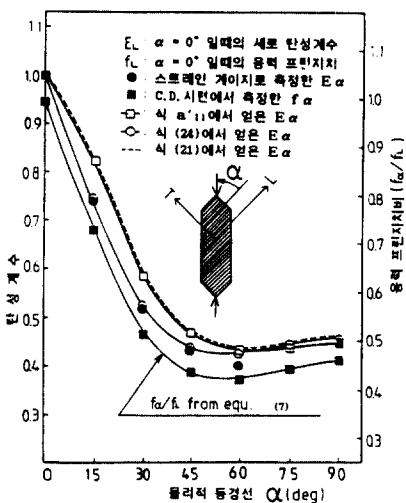
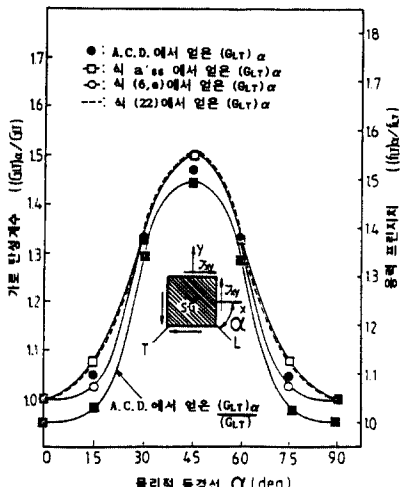
그림 12 물리적 등경선에 대한 세로 탄성계수와 응력 프린지치 변화 ($V_f = 6.5\%$)그림 13 물리적 등경선에 대한 횡탄성계수와 응력프린지치 변화 ($V_f = 6.5\%$)

그림 11은 화이버 방향에 대한 하중방향의 변화에 따른 E_a , f_a 를 구하여 E_a 와 f_a 로 각각 나눈 것인데 식 (18), (21), (24)에서 얻은 것과 스트레인 계이지로 직접 측정한 E_a/E_L , 또 CD시편으로 직접 측정한 f_a/f_L 와 식 (7)로부터 f_a/f_L 등을 각각 나타내고 있다. 스트레인

게이지로 직접 측정한 E_L , E_T , G_{LT} , ν_{LT} 등을 식 (18)에 대입하여 얻은 E_a 값과 직접 측정한 응력 프린지치를 식 (21)에 대입하여 얻은 E_a 의 값은 거의 일치하고 있음을 알 수 있다. 그러나 식(18), (21)은 식 (24)와는 약간의 오차 ($\alpha=30^\circ$ 에서 11%)가 있고 스트레인 게이지로 직접 측정한 E_a 는 식 (24)와 일치하고 있다. 식 (6.c)의 f_a 와 E_a 는 비례해야 하는 것처럼 스트레인 게이지로 직접 측정한 E_a 와 CD시편으로 직접 측정한 f_a 는 완전히 비례하고 있음을 알 수 있다. 그러므로 응력 프린지치로 물성치를 구하는 것이 타당하다는 것을 알 수 있다. 따라서 본 연구에서 유도한 물성치와 응력 프린지치의 관계 식 (21)과 (24)을 사용하여 E_a 를 구할 수 있고 식 (24)는 실제로 직접 측정한 E_a 와 더욱 잘 일치하고 있음을 알 수 있다.

그림 13는 화이버 방향에 대한 하중방향이 이루는 각도 α 에 대한 $(G_{LT})_a/G_{LT}$ 와 $(f_{LT})_a/f_{LT}$ 를 나타낸 것이다. 그리고 $(G_{LT})_a/G_{LT}$ 은 식 (6.e), (19), (22)에서 구한 $(G_{LT})_a$ 는 ACD 시편으로 직접 측정한 $(G_{LT})_a$ 와 오차는 α 가 $30^\circ \sim 60^\circ$ 사이에서는 거의 일치하고 α 가 $0^\circ \sim 30^\circ$ 사이에서 식 (19), (22)는 식 (6.e)와 약 10%의 오차가 있다. 그러나 실제로 식 (6.e), (19), (22)는 실험치와의 오차는 5% 미만이다. 따라서 본 연구에서는 유도한 물성치와 응력 프린지치와의 관계식인 식 (6.e)와 (22)을 이용하여 $(G_{LT})_a$ 를 구할 수 있다. 또한 식 (6.e)로부터 얻은 $(G_{LT})_a$ 와 식 (22)으로부터 얻은 $(G_{LT})_a$ 는 잘 일치하므로 식 (6.e)에 식 (22)을 대입하여 얻은 식 (9)로부터 $(f_{LT})_a$ 를 구할 수 있다는 것을 알 수 있다.

5. 미래 광탄성 실험 발전 방향과 응용분야

지금까지 연구한 투과형 광탄성 실험의 발전 및 연구되어온 범위는 그림 14와 같다.

그리고 아직 더 연구되고 발전되어야 할 분야는 복합체용 Dynamic 광탄성 실험법(투과형

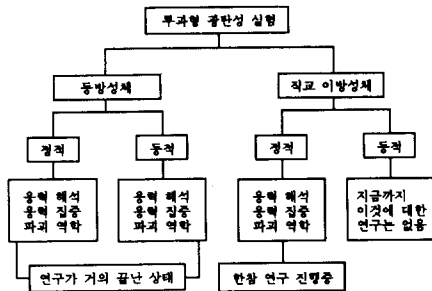


그림 14 투과형 광탄성 실험의 현 연구 상태



(a) 하악골의 등색선 무늬



(b) 추골의 후관절 돌기의 등색선 무늬

그림 15 하악골과 추골의 후관절 돌기의 등색선 무늬

과 반사형)이다. 그리고 생체역학(biomechanics), 토목 및 건축 분야에서도 투과형 이방성 광탄성 실험법이 더욱더 유효하게 사용될 수 있다.

특히 생체역학 분야의 정형외과, 치과대학의 보철과 및 교정과 등의 응력 해석에는 광탄성

실험이 아주 유용하게 사용되고 있다.

그림 15의 (a)은 손상을 받지 않고 빌거된 하악 좌측 견치, 제 2 소구치와 제 2 대구치에서 견치와 제 2 소구치에는 부분 주조관을, 제 2 대구치에는 전부 주조관을 위한 지대치 형성을 하고, 형성을 할 때 고정성 연결 장치(rigid connector)로 연결하고 제 2 대구치의 교합면에 집중하중을 가할 때 견치, 제 2 소구치 그리고 제 2 대구치에 발생하는 응력을 등색선 무늬로 나타낸 것이다⁽¹²²⁾. 이 연구에 의하면 이러한 조건에서 비고정성 연결장치가 고정성 연결장치 보다도 유효하다는 것이 일반적인 의학적인 관점이고 그리고 연구되고 주장되었다⁽¹²³⁾. 그러나 이 광탄성 실험에 의하면 고정성 연결장치가 비고정 연결장치 보다 유효하다는 것이 확인 되었고 또 최근에는 이러한 주장의 연구 논문도 있다⁽¹²⁴⁾. 그림 28의 (b)은 척추 분리증(spondylosis)과 응력 분포와의 관계를 규명하기 위하여 척추 모델에 표준(erect posture), 굽곡(flexed posture) 그리고 신전(extended posture) 상태의 하중조건에서 그 모델의 응력을 동결시키고 광탄성 실험 장치를 사용하여 얻은 등색선 사진 중 하나이다.

이 등색선은 신전시(extended posture), L5(lumbar 5)의 추돌기 부분에 발생하는 응력 분포를 나타내는 것이다. 그리고 이 실험에 의하면 척추 분리증(spondylosis)이 일어나는 추골 후반부가 일반적으로 고응력 상태이고 또 특정한 운동에 관계없이 생체에서 척추 분리가 발생하는 위치인 L5의 협부는 다른 부위 보다도 고응력 상태이다는 것이 확인되었다⁽¹²⁵⁾.

위와 같이 두 가지 예에서 알 수 있듯이 실물 실험을 할 수 없는 생체 부분의 응력 상태를 알고자 할 때는 광탄성 실험법이 유효하게 사용될 수 있다는 것을 알 수 있다. 더욱이 생체는 일반적으로 아주 이상적인 복합체이므로 생체에 가까운 광탄성 실험모델 재료를 개발하여 사용한 광탄성 실험은 생체의 응력 분포를 연구하는데 더욱더 유효하게 사용될 수 있다.

그리고 이러한 분야에는 정적인 이방성 광탄성 실험법이 거의 이용되지 않고 있고 더욱기동적인 상태에는 이용된 적이 없으므로 앞으로 이러한 분야에도 이방성 광탄성 실험법이 유효하게 사용될 수 있으리라 생각한다. 그리고 파괴역학 분야에 광탄성 실험법이 사용될 수 있는 분야를 나열하면 아래와 같다.

- (1) 광탄성 실험법에 의한 경계면에 크랙을 가진 이종제(bimaterial)의 응력해석
- (2) 광탄성 실험법에 의한 접착 부분의 접착부분의 응력해석
- (3) 광탄성 실험법에 의한 표면크랙(surface crack)을 가진 판의 응력해석
- (4) 크랙을 가진 Croww-ply Strip용 광탄성 실험법
- (5) 단파이버 복합체(several short glass fiber composite)용 광탄성 실험법
- (6) 크랙을 가진 matrix composite laminate용 광탄성 실험법
- (7) 부식크랙(corrosion crack)용 광탄성 실험법
- (8) 이방성 손상(anisotropic damage)을 가진 구조물용 광탄성 실험법
- (9) 인터라미나 파단(Interlaminar Fracture)의 모우드-II (Mode-II)용 광탄성 실험법
- (10) 입자복합체용(particulate composite)의 광탄성 실험법

6. 맷 음 말

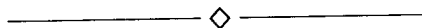
복합체 구조물을 광탄성 실험법으로 응력해석 하고자 할 때는 반드시 아래의 사항이 연구되어야 한다.

- (1) 복합체 구조물의 이방성 성질과 상사되는 광탄성 재료가 개발되어야 한다.
- (2) 광탄성 재료의 기본 물성치($E_L, E_T, G_{LT}, \nu_{LT}$)와 응력 프린지치(f_L, f_T, f_{LT}) 등이 측정되어야 한다.
- (3) 복합체 구조물의 응력 해석을 할 수 있는 광탄성 실험의 실험 방법이 개발되어야 한

다.

이론적으로 규명하기 힘들고 역학적으로 논란되고 있거나 인명에 관계되는 기계나 구조물 등을 이론적으로 해결하였으나 실험적으로 확인할려고 할 때 광탄성 실험법은 확인 실험법으로써 매우 유용한 방법이므로 아래와 같이 요구 된다. 광탄성 실험법이 앞에서 나열된 것처럼 파괴 역학의 여러분야에도 유용하게 이용될 뿐만 아니라 의학 분야에도 매우 유용하게

이용되고 있다. 의학, 토목 및 건축 등을 전공하시는 분들과 공동연구를 할 수 있고 그 어느 누구도 이 실험을 쉽게 이해할 수 있으므로 파괴 역학을 전공하시는 분 현장에서 설계를 하시는 분, 수치해석으로 응력해석을 하시는 분, 그리고 생체역학을 연구하는 분들도 광탄성 실험법을 함께 연구 하시기를 기대합니다(참고문현은 생략함).



제 1차 ECO World '92 국제 학술대회

주관 : ASME

일시 : 1992년 6월 14일 ~ 17일

장소 : 미국 Washington, D.C.

일정 : 논문 초록 마감 : 1991년 10월 1일

전시회 참가 신청 : 1991년 10월 24일

주제 : Site Remediation and Clean Up

Local Authorities and the Environment

Food and the Environment

Industrial Production and the Environment

Transportation and the Environment

Technology, Society and the Environment

연락처 : 한국과학기술원 기계공학과 이종원 교수(국제협력 담당이사) 문의 바람.

전화 (02) 966-1931 3616 또는

Michele Voso Pirector, Exhibits, ASME 345 East 47th street New York,
NY 10017 U.S.A.